

## 酸性電氣爐熔解作業に関する二三の考察 (II)

(日本鐵鋼協會第29回講演大會講演 昭18.4.於東京)

河合正雄・櫻井豊七\*

SOME CONSIDERATION OF THE BASIC ELECTRIC FURNACE MELTING OPERATION (I)  
Masao Kawai

**SYNOPSIS:** Reaction among the three components (Si, C, Mn) which may be controlled with the basic electric furnace were observed physico-chemically, obtaining some criticism on the current operation. It was concluded that the manganese-iron charged simultaneously with the raw metal is not necessary (the author expected to study the quantity of hydrogen gas in the future); that the state of overoxidation in melting-down is freely recovered with the basic electric furnace; that the possibly maximum amount of ( $\Sigma MnO$ ) in the slag of the killing stage is favorable; and that the mechanism of the "sand" decrease by way of high-temperature refining was made clear.

SOME CONSIDERATION ON THE MELTING OPERATION WITH THE ACID ELECTRIC FURNACES. (II)  
Masao Kawai and Toyositi Sakurai.

**SYNOPSIS:**—The present study made some consideration on the results obtained at the Osaka Arsenal with regard to the melting operation of the high-grade steels using the acid electric furnace, following the former report. The authors equalized the temperature of the melt by full agitation, and determined it with an optical pyrometer. Taking it for the reaction temperature, they dealt with the carbon reaction, the silicon reaction and the manganese reaction and the quantity of "sonims." Thus they perceived that the CO gas always evaporates from the steel melt even at the static state without movement of the steel melt at the deoxidation period and the carbon reaction is always proceeding and that the flotation of the product of deoxidation depends on the adsorption of the gas evolved as well as on the difference of densities of the steel melt. The flotation velocity was found to be fairly great. Moreover, the authors referred to the fact that the quality and purity of the acid furnace steel mostly depend on the oxidation rate  $\{[FeO] \times C\}$ .

### 目 次

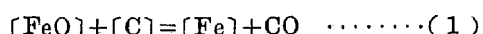
- I 緒 言
- II 炭素反応
- III 硅素反応
- IV マンガン反応
- V 脱酸生成物の浮揚
- VI 結 言

### I 緒 言

昭和10年酸性電氣爐が當廠に於て初められてから、今日迄作業は順調に行はれ、白點発生は殆どなく品質も優良な結果を示してゐる。酸性電氣爐鋼の品質を更に向上せしめるためには、白點防止その他の問題より、先づ非金屬介在物を減少せしめる方法を考究する事が、一方法であると考へ前回に引き續き、酸性電氣爐熔解作業中、特に脱酸生成物の行方につき考察した。

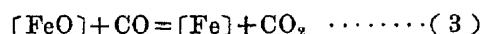
(作業記録は別表にて示し、爐内温度は前回同様爐中より均て汲み出し、鉄滓を除き、約2mの距離にて光高温度計により測定し、“エミシビティ”0.45として換算せるものを示し、熔鋼中の [FeO] 定量はハーテイ法による。又鋼中のサンド測定には硝酸法を用ひた)。

### II 炭 素 反 應



$$K_{C_s} = p_{CO}/[C][FeO] \quad \dots \dots \dots (2)$$

炭素反応はこの反応のみで、凡てを説明出来るものでな



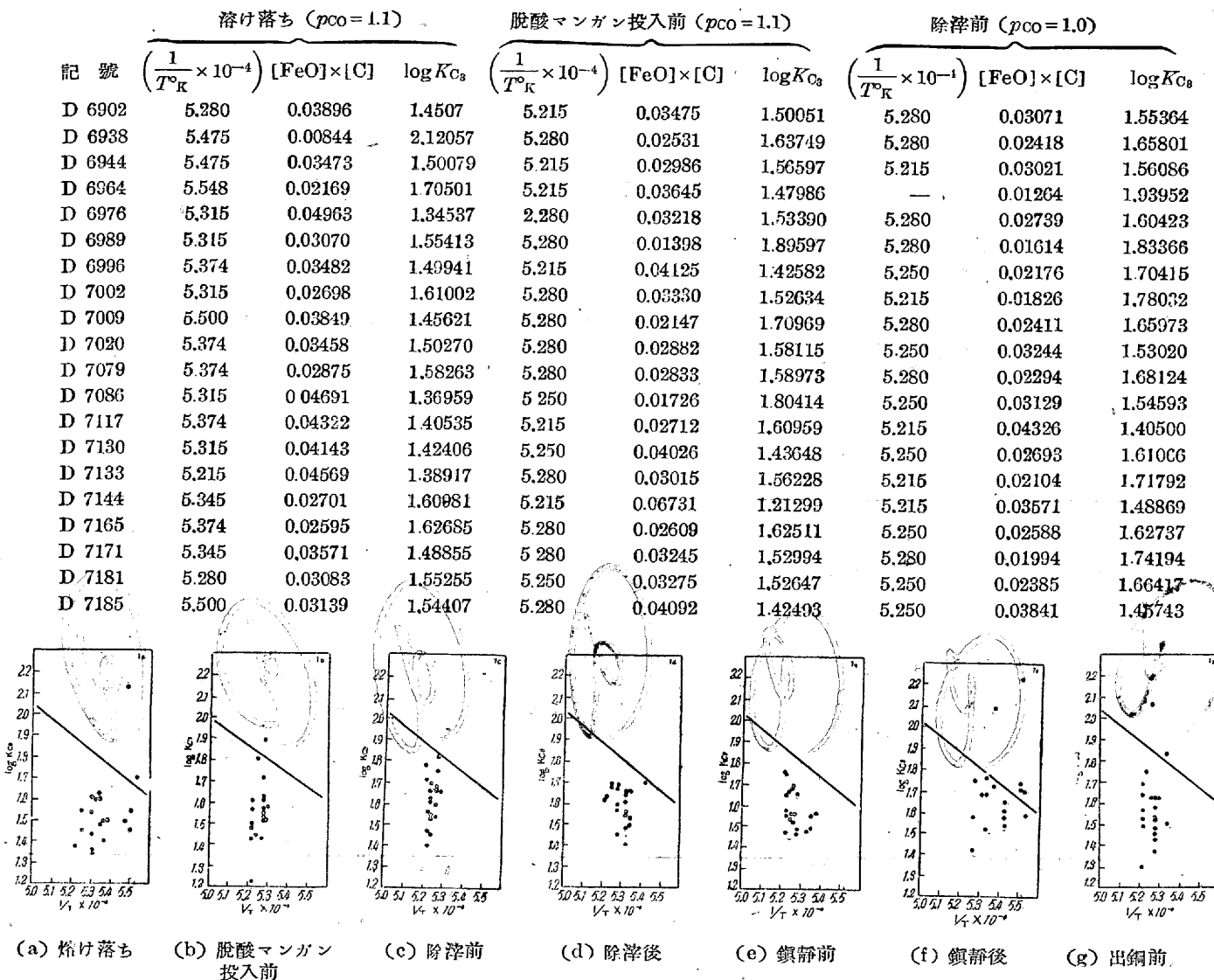
(3), (4)なる反応をも同時に論ぜねばならない。即ちこの系は定温定圧で一変系となり、ガス相の組成が決つて、液相の組成が決るのであるが、発生するガスは、COガスが大部分であり、H. Schenck<sup>1)</sup>によると、熔鋼から出て行くガスは、鋼滓と熔鋼間では、ガス膜をつくり、そのガスは大部分COガスである。少くとも銅浴面の動搖少しき脱酸期には、この事は正しいと思ふ。故に、 $p_{CO} = (\text{一定})$ となし得るものとする。次に酸化期にはガス内圧高きため、Schenck<sup>2)</sup>の如く 1.1 atm とし、脱酸期は内圧低きため、1 atm なりと假定し、各時期の  $(1/T)$  と  $\log K_{C_s}$  の関係を求める。

酸化、脱酸の各時期を通じ、その状態位置は平衡線より下方にあり、 $[FeO] \times [C]$  の値は平衡値のそれよりも大き

\* 大阪陸軍造兵廠

## 第

1

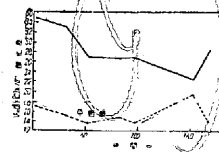
(図中實線は柴田、田尻氏<sup>3</sup>による平衡線で  $\log K_{Cs} = -6882/T + 5.471$  なる値を示す)第1圖  $(1/T^{\circ}K)$  と  $\log K_{Cs}$  の關係第2表  $[FeO] \times [C]$  の平均値と時間の關係

時 期	焼け落ち	脱酸マンガン投入前	除滓前	除滓後	鎮静前	鎮静後	出銅前
平 均 時 間	4mn	32mn	50mn	81mn	96.5mn	152.2mn	169.3mn
$[FeO] \times [C]$ の 平 均 値	0.03467	0.03284	0.02676	0.02645	0.02068	0.0223	0.02827
平 均 溫 度	1879°K	1904°K	1905°K	1889°K	1906°K	1857°K	1904°K
$[FeO] \times [C]$ の 平 衡 値	0.01708	0.01529	0.01387	0.01486	0.01380	0.01946	0.01390
( $p_{CO} = 1.1$ )	( $p_{CO} = 1.1$ )	( $p_{CO} = 1.0$ )					

くなつてゐる。脱酸期に化學變化少き同じ様な状態が相當時間續くときも、點の位置に殆ど差異なき事より、 $[FeO] + C = Fe + CO$  なる反応には相當の時間を要する事が分る。

脱酸期にも  $[FeO] \times [C]$  の値が、平衡値より常に大なる事は、この時期に於てもなほ遅々たるものであるが、常に炭素反応が行はれつゝある。然し銅浴面より CO ガスの蒸發が行はれ、その蒸發速度はその時の炭素反応速度より遅れをとらないため氣泡を生ずるに至らない。

次に各時期の  $[FeO] \times [C]$  の平均値と時間の関係を求める

第2圖 酸化度  $[FeO] \times [C]$  の値と時間の關係

$[FeO] \times [C]$  の値はマンガン脱酸により急に低下し、更に鎮静により著しく低下を示してゐる。この  $[FeO] \times [C]$

表

除滓後 ( $p_{CO}=1.0$ )		鎮靜前 ( $p_{CO}=1.0$ )		鎮靜後 ( $p_{CO}=1.0$ )		出鋼前 ( $p_{CO}=1.0$ )	
$(\frac{1}{T^o_K} \times 10^{-4}) [FeO] \times [C]$	$\log K_{Cs}$	$(\frac{1}{T^o_K} \times 10^{-4}) [FeO] \times [O]$	$\log K_{Cs}$	$(\frac{1}{T^o_K} \times 10^{-4}) [FeO] \times [C]$	$\log K_{Cs}$	$(\frac{1}{T^o_K} \times 10^{-4}) [FeO] \times [C]$	$\log K_{Cs}$
5.280	0.02141	1.66932	5.215	0.02208	1.65610	5.280	0.03859
5.315	0.02248	1.64836	5.250	0.03027	1.51917	5.374	0.01873
5.225	0.02332	1.66246	5.225	0.02747	1.56110	5.510	0.01985
5.345	0.02250	1.65225	5.240	0.02092	1.67988	5.345	0.01681
5.345	0.02989	1.52375	5.345	0.02925	1.53403	5.280	0.02592
5.250	0.02042	1.68966	5.250	0.02029	1.69473	5.280	0.01762
5.215	0.02425	1.61574	5.215	0.02647	1.57749	5.500	0.00604
5.315	0.02694	1.56929	5.225	0.02201	1.65792	5.500	0.01921
5.250	0.02136	1.67025	5.215	0.01792	1.74492	5.345	0.02049
5.315	0.02348	1.62941	5.225	0.02953	1.52930	5.345	0.01458
5.315	0.02528	1.59700	5.315	0.03316	1.48001	5.415	0.02312
5.280	0.02586	1.58749	5.215	0.03452	1.46240	5.550	0.02539
5.280	0.02698	1.56929	5.250	0.02803	1.55267	—	0.02301
5.280	0.03593	1.44498	5.280	0.03401	1.46850	—	0.03262
5.345	0.03162	1.49996	5.345	0.03234	1.49052	5.345	0.02992
5.315	0.03185	1.49693	5.215	0.02823	1.5499	5.374	0.00825
5.315	0.02811	1.55267	5.280	0.02812	1.55145	5.415	0.02641
5.280	0.02242	1.64933	5.280	0.03266	1.48615	5.415	0.02502
5.415	0.01966	1.70329	5.280	0.02219	1.65466	5.500	0.01848
5.315	0.03962	1.40209	5.215	0.01731	1.76155	5.415	0.02922

第3表 鎮静期に於ける  $[FeO] \times [C]$  の變化

D 7020	鎮静時間	0 mn(85)	20 mn(105)	35 mn(120)	50 mn(135)
	$[FeO]; [C]$	0.428; 0.0690	0.431; 0.0606	0.421; 0.0479	0.426; 0.0409
	$[FeO] \times [C]$ の値	0.02953	0.02612	0.02017	0.01738
D 7079	鎮静時間	0 mn(83)	17 mn(100)	35 mn(115)	47 mn(130)
	$[FeO]; [C]$	0.392; 0.0846	0.368; 0.0726	0.388; 0.0733	0.386; 0.0599
	$[FeO] \times [C]$ の値	0.03316	0.02672	0.02844	0.02312
D 7086	鎮静時間	0 mn(99)	18 mn(117)	33 mn(132)	48 mn(147)
	$[FeO]; [C]$	0.395; 0.0874	0.379; 0.0902	0.386; 0.1036	0.405; 0.0627
	$[FeO] \times [C]$ の値	0.03453	0.03419	0.03999	0.02539
D 7067	鎮静時間	0 mn(86)	17 mn(103)	32 mn(118)	47 mn(133)
	$[FeO]; [C]$	0.0895; 0.371	0.0817; 0.376	0.0627; 0.377	0.0571; 0.385
	$[FeO] \times [C]$ の値	0.03320	0.03072	0.02364	0.02170
					0.01355
					0.02156
					0.03064
					0.02842

の値は、一種の酸化度とも看做し得るから、鎮静時間は、脱酸效果の點から無効に過されてゐない事が分る。

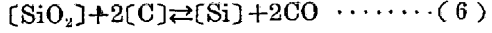
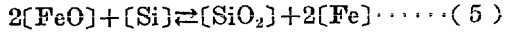
鎮静期中の酸化度の変化を D 7020; D 7079; D 7086 及び D 7067 につき求めてみると。

第3図 鎮静時間と  $[FeO] \times [C]$  の関係

即ち、鎮静により脱酸の効果ある事が分る。これは温度低下による珪素及びマンガン脱酸が行はれたためである。脱酸効果の點のみから、鎮静時間の限度を決める事は困難であるが、40~50mn 間位が適當かと推定せられる。

### III 硅素反応

珪素が関係する反応として、次の二つが考へられる。



酸性鋼滓は、常に珪酸で飽和せられてゐると假定するも差支へなきため

$(SiO_2)=1$  と看做す (5) 式に對しては

$$L_{SiO_2} = [SiO_2]/(SiO_2) \quad \therefore L_{SiO_2} = [SiO_2]$$

但し  $L_{SiO_2}$  は分配恒数である。

$$\therefore [Si][FeO]^2 = L_{SiO_2}/K_{Si} = K^{S_{Si}} \quad (7)$$

熔け落ち (a) には  $\log K^{S_{Si}}$  の値の大きいものもあるが、礫石投入により容易に小さくなり、(b)(c) では殆ど凡て平衡線より下にある。即ち酸化期には、(5) の反応は容易に右向に進む。(d), (e), (f), (g) に於ては、珪素による脱酸あり、特に (f) なる鎮静後のものは、湯熱の低下と共に



その反応速度は非常に小さい。而してこの反応速度の小さい原因は、化學反応速度そのものにあるか、或は  $\text{SiO}_2$  の移動擴散速度にあるかを決定することは、 $[\text{SiO}_2]$ 、 $(\text{SiO}_2)$  の値を知る事の出来ないときは不可能であるが、實際作業に於て、銅浴中の  $[\text{SiO}_2]$  は極めて微小であるから、(6)の反応により直に減少し、銅浴は  $[\text{SiO}_2]$  未飽和の状態に達する。而して、 $(\text{SiO}_2) \rightarrow [\text{SiO}_2]$  なる移動擴散速度が遅れをとる状態にあるものと考へられる。このときは  $[\text{SiO}_2] \neq 1$  となる。又このときこの系は3成分2相系となり、自由度は3にして温度、圧力及びガス組成が一定して始めて液相の組成が定るのであるが、炭素反応の項にて述べたる如く實際作業に於てガス成分は CO ガスのみにして、 $p_{\text{CO}}$  一定

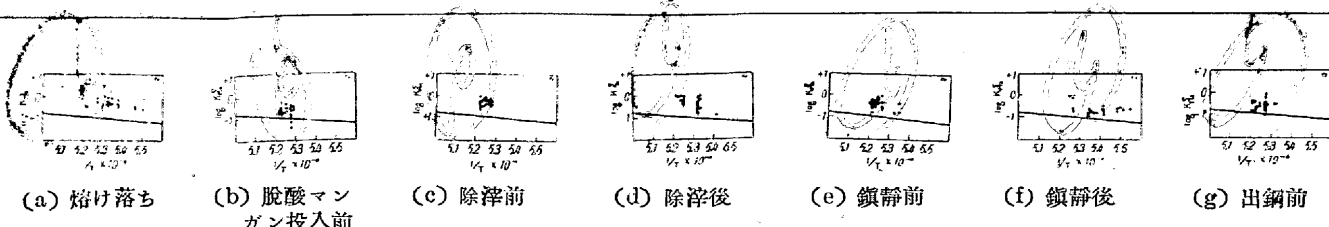
と考へられるから、この様な場合も、この反応式のみを考慮して、珪素の還元量を決定して差支へない。爐床の荒れたときは、銅浴温度が同じであるに拘らず、然らざる場合に比し珪素の還元が著しいのは、爐床の荒れにより、 $\text{SiO}_2$  過大となり、眞に  $[\text{SiO}_2] = 1$  なる状態を保ちつゝ(6)式が反応するためにして、この事實より考へると  $\text{SiO}_2$  の移動擴散が(6)の反応速度を支配するものと言へる。(6)式の反応速度は、湯熱の上昇により、急速に上昇し、多量の珪素還元し来る事は、現場にて経験する所であるが、湯熱上昇により  $(\text{SiO}_2) \rightarrow [\text{SiO}_2]$  移動擴散速度が急に良くなり又銅浴の  $\text{SiO}_2$  の溶解度も良くなる事が主原因で、 $[\text{SiO}_2] + 2[\text{C}] \rightarrow [\text{Si}] + 2\text{CO}$  なる化學反応速度そのものは、二次的

第 5 表 (1)

記 號	熔け落ち		記號脱酸マンガン投入前		除 淀 前		除 淀 後	
	$(\sum \text{FeO})/(\text{Mn})$	$\log K_{\text{Mn}}^{S'}$						
D 6902	0.652	-0.18575	0.495	-0.30539	0.484	-0.31515	0.600	-0.22185
D 6938	0.305	-0.51570	0.293	-0.53313	0.682	-0.16622	0.418	-0.37882
D 6944	0.290	-0.53760	0.160	-0.79588	0.519	-0.28483	0.830	-0.08092
D 6964	0.0351	-1.45469	0.180	-0.74473	0.384	-0.41567	0.581	-0.23582
D 6976	0.652	-0.18575	0.386	-0.41341	0.475	-0.32331	1.150	-0.06070
D 6989	0.413	-0.38405	0.257	-0.59007	0.597	-0.22403	1.090	-0.03743
D 6996	0.672	-0.17263	0.206	-0.68613	0.397	-0.40121	0.969	-0.01368
D 7002	0.282	-0.54975	0.032	-1.44129	0.382	-0.41794	0.274	-0.56225
D 7009	0.241	-0.61798	0.080	-1.09528	0.409	-0.38828	0.462	-0.33536
D 7020	0.614	-0.21183	0.282	-0.54975	0.707	-0.15058	0.698	-0.15614
D 7079	0.341	-0.46725	0.356	-0.44855	0.533	-0.27327	0.212	-0.67366
D 7086	0.262	-0.58170	0.165	-0.78252	0.671	-0.17328	0.800	-0.09691
D 7117	0.334	-0.47625	0.157	-0.80410	0.222	-0.65347	0.365	-0.43771
D 7130	0.252	-0.59860	0.254	-0.59517	0.970	-0.01323	0.426	-0.37059
D 7133	0.334	-0.47625	0.275	-0.56067	0.305	-0.51570	0.279	-0.55440
D 7144	0.261	-0.58336	0.140	-0.85387	0.307	-0.51286	0.175	-0.75696
D 7165	0.568	-0.24565	0.164	-0.76516	0.740	-0.13077	0.349	-0.45717
D 7171	0.583	-0.28433	0.085	-1.27058	0.689	-0.16178	0.316	-0.50031
D 7181	0.396	-0.40230	0.143	-0.84466	0.869	-0.06098	0.176	-0.75449
D 7185	0.631	-0.19997	0.392	-0.40671	0.750	-0.02494	0.379	-0.42136

第 5 表 (2)

記 號	鎮 静 前		鎮 静 後		出 銅 前	
	$(\sum \text{FeO})/(\text{Mn})$	$\log K_{\text{Mn}}^{S'}$	$(\sum \text{FeO})/(\text{Mn})$	$\log K_{\text{Mn}}^{S'}$	$(\sum \text{FeO})/(\text{Mn})$	$\log K_{\text{Mn}}^{S'}$
D 6902	0.426	-0.37059	0.286	-0.54363	0.270	-0.56864
D 6938	0.528	-0.27736	0.147	-0.83268	0.148	-0.82974
D 6944	0.369	-0.43297	0.185	-0.73283	0.362	-0.44129
D 6964	0.287	-0.45212	0.224	-0.64975	0.179	-0.74715
D 6976	0.449	-0.34775	0.204	-0.69037	0.304	-0.51713
D 6989	0.427	-0.36957	0.537	-0.27003	0.555	-0.25571
D 6996	0.298	-0.52598	0.155	-0.80967	0.200	-0.69897
D 7002	0.273	-0.56383	0.232	-0.63451	0.154	-0.81248
D 7009	0.368	-0.43415	0.157	-0.80410	0.253	-0.50638
D 7020	0.380	-0.42022	0.225	-0.64782	0.216	-0.66555
D 7079	0.180	-0.72354	0.152	-0.81816	0.214	-0.66959
D 7086	0.372	-0.42946	0.189	-0.72354	0.250	-0.62025
D 7117	1.699	-0.23010	0.252	-0.59860	0.162	-0.79048
D 7130	0.314	-0.50307	0.460	-0.33724	0.338	-0.47108
D 7133	0.204	-0.69037	0.115	-0.93930	0.090	-1.04818
D 7144	0.176	-0.75449	0.145	-0.83863	0.148	-0.82974
D 7165	0.670	-0.17393	0.141	-0.85078	0.225	-0.64782
D 7171	0.253	-0.39688	0.196	-0.70774	0.198	-0.70333
D 7181	0.272	-0.56543	0.197	-0.70553	0.180	-0.74493
D 7185	0.400	-0.39794	0.255	-0.59346	0.238	-0.62442

(図に於て實線は Körber u. Oelsen<sup>4)</sup> の測定による平衡線にして  $\log K'_{\text{Mn}} = -7940/T + 3.172$  なり)第5圖  $(1/T^{\circ}\text{K})$  と  $\log K'_{\text{Mn}}$  との關係

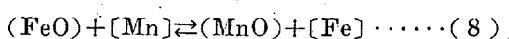
原因でないかと考へられる。

若しこの反応速度が製鋼温度に於て非常に大であるならば、珪素還元過大になり、珪素鋼以外の鋼を酸性爐で熔解する事は出來ない。

(5) 式の反応速度は比較的早く、珪素は直ちに酸化鐵と結合脱酸するが、(6) 式の反応速度は比較的遅くあるから還元珪素の多い精錬條件は、脱酸度良く、清淨なる鋼と言へる。即ち還元珪素量は、脱酸效果に対する一種のインディケーターである。事實當酸性電気爐鋼にて、同じ様な熔解作業をなしたる、或る數種の成品につき合格になりたるものと、不合格になりたるもの、1年間の平均珪素含有量比較によると、凡ての成品につき合格せるものは珪素含有量高く、その程度は(1~2/100)%附近である。他成分では大體に於て差異がなかつたから、若しこの程度の珪素含有量の差により成品の品位が左右されるものとすると、これは合金成分としての珪素の働きではなく、脱酸度の如何にあつたものと考へられる。

#### IV マンガン反応

Körber u. Oelsen によると



なる反応に於て、鋼浴が珪酸で飽和されてゐる時は、次の関係が成立する。

$$K'_{\text{Mn}} = (\sum \text{MnO}) / (\sum \text{FeO}) [\text{Mn}]$$

又は

$$K'_{\text{Mn}} = (\sum \text{FeO}) [\text{Mn}] / (\sum \text{MnO})$$

今各時期の  $K'_{\text{Mn}}$  及び  $\log K'_{\text{Mn}}$  の値を示すと(第5圖)

實際作業の  $\log K'_{\text{Mn}}$  値は、圖に示す如く、平衡値より常に大きく、即ち反応は右向きに進む。然し、第5圖(b)に於ては、平衡線より下方に來てゐるものもある。このものは最初の鐵礦投入により、一時  $(\sum \text{FeO})$  が非常に多量になり、又鐵礦石が直接鋼浴に働き、從つて反応は右向きに大きく進行し、 $[\text{Mn}]$  が減少したためで、マンガン投入以後のものには平衡値以下のものはない。

又マンガン鐵投入後、少時間経過のもの、即ち第5圖

(c) 及び (d) の位置と、それ以後のもの (e), (f), (g) の状態位置を比較するに差なき事は、マンガン鐵投入により添加された  $[\text{Mn}]$  は容易に(1)式の反応を終へ、(c) 及び (d) で最早大略平衡に近づいた爲で、この反応速度は比較的早い。この反応速度は早いから、鋼浴中に Mn を比較的多量に止めんとするならば、鋼浴中の  $(\sum \text{MnO})$  を多量にし、 $(\sum \text{FeO})$  を少なくする必要があり、かかる條件は前回にも報告せる如く、鋼浴の清淨度にも良き結果を與へるものである。

#### V 脱酸生成物の浮揚

白點發生の比較的少い酸性電氣爐では、鋼浴の水素ガス含有量につき、鹽基性電氣爐に於ける程注意を必要とせず。鋼質の品位は、殆ど凡て脱酸度の如何にかゝつてゐると考へられる。故に、脱酸生成物の浮揚につき考慮する事は意味なしとしないのである。

今脱酸生成物を球状とすると、その浮揚速度は Stokes の法則に従つて——これは特別なる場合に於ける終末速度であり、總ての場合に一律に適用出来ないが、浮揚速度の大凡の見當をつけるに便である——

$$V = 2/9 gr^2(D_M - D_S)/\eta = 218r^2(D_M - D_S)/\eta \dots\dots\dots (9)$$

$V$ ………脱酸生成物の浮揚速度( $\text{cm s}^{-1}$ )

$g$ ………重力による加速度  $980 \text{ cm s}^{-2}$

$\eta$ ………鋼浴の粘性係数( $\text{dyn cm s}^{-1}$ )

$D_M$ ………鋼浴の密度( $\text{g cm}^{-3}$ )

$D_S$ ………鋼浴の密度( $\text{g cm}^{-3}$ )

$r$ ………球状脱酸生成物の半径

脱酸生成物の組成はソニムスの組成と同一なりとするも差支へなきものと考へらる。ソニムスの組成は、 $\text{SiO}_2$ ,  $\text{FeO}$ ,  $\text{MnO}$ ,  $\text{Al}_2\text{O}_3$ ,  $\text{Cr}_2\text{O}_3$  (クロムを含むとき) 等よりなるが、その比重測定困難なるため、出鋼前の鋼浴密度を測定したるに、2.82~2.87 で、平均値 2.85 であつた。

Landolt<sup>6)</sup>によると

第6表 脱酸生成物の密度

脱酸生成物	比重 $D_s$	脱酸生成物	比重 $D_s$
Al <sub>2</sub> O <sub>3</sub> 無定形	3.85	SiO <sub>2</sub> 結晶質	2.4
結晶質	4.00	Al <sub>2</sub> O <sub>3</sub> ·SiO <sub>2</sub>	3.05
MnO	4.73	結晶質(人造)	
SiO <sub>2</sub> 無定形	2.2	Cr <sub>2</sub> O <sub>3</sub>	5.0

熔銅の粘性係数  $\eta$  は測定甚だ困難である。比較的低溫度で熔融する銑鐵について Wimmer u. Thielmann 並に Esser, Geis u. Bungardt 等がその粘性係数  $\eta$  を 1400°C で測定した。これらの結果から Schenck<sup>6)</sup> が外挿法により 1600°C に於ける粘性係数を求め約 0.01 としてゐる。

水銀と水の粘性係数を示すと、

第7表 水銀と水の各温度に於ける粘性係数

温度	水銀	水	温度	水銀	水
-20	0.01855	—	30	0.01499	0.008019
-10	0.01764	—	50	0.01407	0.005497
0	0.01685	0.017887	100	0.01240	0.002821
10	0.01615	0.013061	200	0.01052	—
20	0.01554	0.010046	300	0.00950	—

高溫に於ける酸化物の密度  $D_s$  について實測値がないから Schenck の如く、Stokes の式中に溶銅の密度の代りに 20°C に於ける  $D_M=7.8$  を用ひるのも一つの便法である。

$$D_M - D_s = 7.8 - 2.85 = 4.95$$

( $D_M - D_s$ ) の値の小なる程浮揚速度は小さいのである。

今  $D_M - D_s = 7.8 - 4.8 = 3$  なる場合を考へるに、ソニムスの主成分は SiO<sub>2</sub> であり、第6表より解る如く  $D_s > 4.8$  になる場合は恐らくない。又粘性係数については、Schenck は 0.01 を與へてゐるが、今假に  $\eta = 0.02$  とする。常温に於ける水銀の流動状態と、溶銅の流動状態の目測比較から考慮すると、熔銅の粘性係数の方が小さい様に観察されるから、熔銅の粘性係数が 0.02 を越える事はないものと考へられる。即ちこれらの條件は、脱酸生成浮揚速度の最小の場合である。このとき鎮靜時間 40mn 中に、浮揚除去し得る脱酸生成物の最小径を求めるに、銅浴の最深部は 50cm なるため

$$50/2400 = 218 r^2 (3/0.02)$$

$$\therefore r^2 = 5/7848000$$

$$\therefore r = 0.8 \times 10^{-3}$$

(直徑  $\approx 0.0015\text{mm}$ )

これは最悪の場合であり、鎮靜の初に出来たソニムスは、銅浴の動搖なきときは、大體に於て浮揚除去される。然し銅浴には、溫度差による對流等があつて、静止の状態になく、微粒子は僅かの銅浴の動きによつても大きく影響され

又プラウン運動をもなすと考へられるから、必ずしも除去されるとは断定出來ないが、一方脱酸生成物の浮揚速度は発生ガスの吸着により高められるものである。

炭素反応の項にて前述せる如く、銅浴は常に

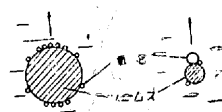
$$K_{C_6}[C][FeO] > p_{CO} = 1$$

なる状態にあり、ガス内圧は高いから、氣泡發生の傾向あり、脱酸生成物の如き異物があれば、必ずこの點を核として氣泡を生じ、沸騰期の如く特にガス内圧高きときは大氣泡となり、これが氣球の如き役目をして速かに浮揚するこの場合は上昇速度に比較して、氣泡と脱酸生成物との吸着力弱いため離れ易い。



第6圖 沸騰期に於けるソニムスの浮揚機構

然し脱酸期にはガス内圧はさほど高くない。又表面よりの蒸發があるから、或る大きさ以上になる事はなく、非常に小さい氣泡として脱酸生成物の周囲に吸着され、全體としての比重を軽くするため浮揚速度を上昇せしめる。

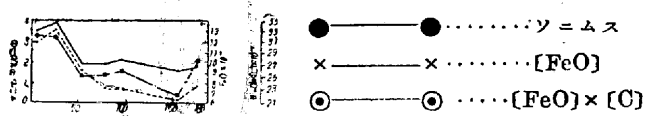


第7圖 脱酸期に於けるソニムスの浮遊機構

即ち浮揚速度は上の條件より遙に良いから、鎮靜時間を脱酸生成物の浮揚速度より考へるときは、40mn 間位が限度である。然らばソニムスの量は鎮靜時間に比例して、減少するかと言ふに、決して、一義的にさうはならない。脱酸生成物は浮揚除去されるが、他面銅浴の脱酸は常に行はれ、新しき脱酸生成物を生ずる。又吾々が問題にするソニムスは凝固後のものであり、凝固溫度附近では珪素、マンガンによる脱酸が非常に進行する。故に一般にソニムスの量は酸化度に比例するものである。今各期の酸化度、[FeO] の平均値とソニムスの平均値の関係を示すと次の如くである。

第8表 酸化度及び[FeO]とソニムスの平均値

時間	4	32	50.3	81	96.5	152.2	169.3
[FeO] × [C]	0.03467	0.03284	0.02676	0.02645	0.02668	0.02203	0.02827
[FeO]	0.1208	0.1324	0.0939	0.0771	0.0771	0.0635	0.0781
ソニムス	0.0358	0.0395	0.0190	0.0193	0.0213	0.0155	0.0172

第8圖 酸化度及び $[FeO]$ の残渣の關係

即ちソニムスの量は酸化度に比例する。清淨な鋼を得るには、脱酸度良き銅浴を得なければならない。白點發生の危険性の少い酸性爐鋼では、脱酸度が鋼質品位を支配すると言へる。

(但し爐床が荒れた時は、間歇的に爐床の一部が浮き、珪石粉を銅浴中に撒き散らし、又その間常に新爐床面より珪石粉が銅浴中に浮揚懸垂する状態にある。この時は勿論如何に銅浴中の $[FeO]$ が少くとも——一般に爐床の荒れた時は還元珪素が多い——ソニムス多く、かかる場合は論外である。

## VI 結 言

前回報告せる如く、電氣爐内温度は一様でないが、攪拌により、大略平均させ、平均湯熱を測定し、この温度を反応温度とし個々の熔解記録につき、又それらの平均値をとりそれぞれの反応を討究した。

(各作業は同一作業方針の下に作業されてはゐるが、熔解作業なるものゝ特質として、各々の場合々々により異なるもので、全く同一の状態はない。今平均値をとるならば、その平均値の示すものは、個々の場合の特異性の相殺された中間の傾向を示すものであるから、平均値についても検討した次第である。)

(1)  $[FeO]+[C]=[Fe]+CO$  なる化学反応速度は比較的遅い。

(2) 脱酸全期を通じ常に銅浴面より CO ガス蒸發が行はれてゐる。

(3) 鎮静により酸化度は低下する。

(4) 酸化鐵と珪素の反応速度は大きい。

(5) 酸化鐵と珪素の反応速度は大きく、他方炭素による珪素の還元速度は小さいから、珪素還元量の大なる銅浴は脱酸度良好であると言へる。

(6) 脱酸銅滓は  $(\Sigma MnO)$  多きものを良しとする。

(7) 脱酸生成物の浮揚は銅浴と、それとの密度差により行はれが氣泡の吸着により更に高めらる。

(8) ソニムスの量は酸化度に左右される。即ち凝固鋼中のソニムス量を左右するものは、熔鋼中の浮游脱酸生成物の量よりも寧ろ $[FeO]$  の量である。

(9) 一般に酸性爐鋼の良否は酸化度により決定される。

第 II 報を終るにあたり製鋼基礎理論につき御教授下された北大教授柴田先生、又種々御指導下された鶴内中佐殿及び本研究にあたり御便宜御鞭撻下された、所長石垣大佐殿、工場長高畠少佐殿に厚く御禮申し上げる次第である。

## 文 獻

- 1) H. Schenck: Archiv für das Eisenhütten-Wesen, 3. 1929/1930
- 2) H. Schenck: Phy. Chemie der Eisenhütten-Prozesse 2 Band S. 49
- 3) 學振 19 小委會最近の發表
- 4) Körber u. Oelsen: Mit. K.-W. Inst. Eisenforsch, Dusseld. Bd. 15 (1933) S. 271
- 5) Landolt-Börnstein: Physikalische chemische Tabellen.
- 6) H. Schenck: Phy. Chemie der Eisenhüttenprozesse 2 Band S. 203
- 7) 芝 龜吉: 物理學講座, 物質常數表 17 頁

## 作業記録

作業の大略; 一溶け落ちると同時に試料を採取し、爐況を見て鐵鑄石を投入酸化精錬をする。後適當なる時期をみてマンガン鐵による一部脱酸を行ふ。次に完全除滓をなし珪素マンガン鐵、マンガン鐵、加炭等の操作をなしたる後平爐古津——通常數回繰返し使用——を添加し、適當なる時間の後止電鎮靜する。鎮靜後再び通電出銅を行ふ。猶前回報告中の作業記録を参照されたし。



日本鐵鋼協會北海道支部發會式に於ける水谷會長代  
理祝辭場景(昭 18-8-8 於 日本製鋼所室蘭製作所  
青年學校講堂)





温度測定なきもの及び高きもの D6902, D6976, D6989, 湯困難なるため通電後に測温せるものなり。  
D7165, D7185 は湯熱低きため測定困難なるもの、及び汲

## (7) 出 鋼 前

記 號	時 間	補正 溫 度 mn °C	C	Si	Mn	(ΣSiO)	(FeO)	(ΣMnO)	[FeO]	ソニムス	ソニムスより の [SiO <sub>2</sub> ]
			%	%	%	%	%	%	%	%	%
D 6902	165	1645	0.353	0.261	0.453	73.36	7.57	12.72	0.1438	0.0144	0.0103
D 6938	165	1622	0.322	0.211	0.527	68.06	5.15	18.38	0.0810	0.0154	0.0122
D 6944	168	1656	0.345	0.227	0.614	63.70	9.58	22.12	0.0535	0.0137	0.0109
D 6964	196	1633	0.417	0.317	0.607	67.53	7.22	24.39	0.0260	0.0153	0.0120
D 6976	170	1622	0.375	0.191	0.402	67.02	11.65	15.41	0.0775	0.0108	0.0088
D 6989	146	1622	0.355	0.250	0.651	74.03	9.65	11.33	0.1226	0.0126	0.0100
D 6996	150	1599	0.324	0.244	0.570	68.54	7.57	21.63	0.0465	0.0167	0.0126
D 7002	146	1645	0.366	0.266	0.461	66.67	7.07	21.12	0.0641	0.0102	0.0065
D 7009	184	1622	0.326	0.180	0.417	64.98	10.22	16.82	0.0747	0.0163	0.0141
D 7020	150	1622	0.416	0.264	0.431	65.95	9.22	18.45	0.0831	0.0192	0.0137
D 7079	149	1599	0.370	0.292	0.650	67.97	7.15	21.70	0.0853	0.0157	0.0113
D 7086	159	1622	0.390	0.166	0.520	64.81	9.50	19.79	0.0831	0.0170	0.0123
D 7117	194	1656	0.348	0.222	0.479	60.23	8.64	25.59	0.0916	0.0240	0.0145
D 7130	178	1645	0.357	0.241	0.632	68.58	8.65	16.19	0.0571	0.0255	0.0180
D 7133	162	1622	0.403	0.197	0.581	64.98	3.92	25.45	0.0909	0.0335	0.0269
D 7144	167	1645	0.355	0.272	0.550	65.96	6.22	23.11	0.0754	0.0154	0.0133
D 7165	180	1633	0.392	0.205	0.499	59.83	10.34	22.90	0.0613	0.0111	0.0085
D 7171	208	1656	0.340	0.219	0.580	60.32	9.15	24.60	0.0881	0.0187	0.0131
D 7181	176	1622	0.365	0.281	0.680	60.95	6.58	24.88	0.0810	0.0273	0.0104
D 7185	174	1622	0.323	0.269	0.660	63.65	7.93	21.98	0.0761	0.0111	0.0091
平 均	169.3	1630.5	0.362	0.239	0.546	65.36	8.15	20.43	0.0781	0.0172	0.0124

## 日本鐵鋼協会第30回講演大會開催御通知の訂正

先日御送り申上げました御通知の内次の通り訂正いたします

頁	行	誤	正
5	3	午前八時十分迄に	午前八時〇分迄に
8	表 中 第八班	南加賀町	南加賀屋町
11	4	午前 8 時 20 分開會	午前 8 時 10 分開會
15	講演番號 (10)	生團鑄法の研究の次に	京都帝國大學教授 工學博士 工學士 澤 村 宏君 及び 永沼喜代次君に〇印を脱す
16	講演番號 (14)	鐵及鐵合金の高溫酸化に 關する研究 (II)	の講演番號を (34) に變更し 10月17日に移す 5.35~5.55
16	講演番號 (14)	同上の欄へ	新に 硫酸淬に關する研究 (第7報) 二三の脱銅法に就て 哈爾賓工業大學教授 工學士 森 棟 隆 弘君を入れる
19	講演番號 (55)	演題の次に	東京帝國大學工學部教授 工學博士 工學士 三 島 德 七 君を脱す
22	講演番號 (27)	塙 田 治 人 君	塙 田 治 夫 君
24	講演番號 (68)	冷間壓延用鍛鋼焼入ロール の製造法に就て	全部を削る
	講演番號 (34)	塙炭鋼板の内部應力に關す る研究	の 講演番號を (68) に變更し 同時間第2會場へ移す。